

**Выбор параметров  
при автоматическом выделении  
трендовых и периодических составляющих  
временного ряда в рамках подхода “Гусеница”-SSA**

Ф.И.Александров, Н.Э.Голяндина

theo@pdmi.ras.ru, nina@ng1174.spb.edu

С.-Петербургский Государственный Университет

# Аппроксимация сигнала

$$F_N = (f_0, \dots, f_{N-1}) : f_n = s_n + \varepsilon_n,$$

$S_N = (s_0, \dots, s_{N-1})$  – детерминированный сигнал,  
 $(\varepsilon_0, \varepsilon_1, \varepsilon_2, \dots, \varepsilon_{N-1})$  – остаток (шум).

**Аппроксимация сигнала – в среднеквадратичном.**

**Хотим аппроксимировать сигналы:**

- нестационарные,
- не зная их параметрической модели,
- более того, не зная их структуры.

# Метод “Гусеница”-SSA

## Метод решает задачи:

- нахождение тренда различной степени детализации,
- сглаживание,
- выделение сезонности,
- выделение периодичностей с меняющимися амплитудами,
- прогноз,
- обнаружение точек разладки.

## История:

- США, Великобритания – SSA (Singular Spectrum Analysis),
- Россия – “Гусеница”-SSA.

## Преимущества:

- не требует знания о параметрической модели ряда,
- работает с широким спектром реальных временных рядов,
- подходит для нестационарных временных рядов,
- обрабатывает такие естественные составляющие, как модулированные гармоники.

# “Гусеница”-SSA: базовый алгоритм

- Разложение ряда на составляющие:  $F_N = F_N^{(1)} + \dots + F_N^{(m)}$ .
- Предоставляет информацию о каждой составляющей.

## Алгоритм:

1. Построение траекторной матрицы:  $F_N \rightarrow \mathbf{X} \in \mathbb{R}^{L \times K}$   
( $L$  – длина окна, параметр)

$$\mathbf{X} = \begin{bmatrix} f_0 & f_1 & \dots & f_{N-L} \\ f_1 & f_2 & \dots & f_{N-L+1} \\ \vdots & \ddots & \ddots & \vdots \\ f_{L-1} & f_L & \dots & f_{N-1} \end{bmatrix}.$$

2. Сингулярное разложение (SVD):  $\mathbf{X} = \sum \mathbf{X}_j$ ,

$$\mathbf{X}_j = \sqrt{\lambda_j} U_j V_j^T,$$

$\lambda_j$  – с.ч.  $\mathbf{S} = \mathbf{X}\mathbf{X}^T$ ,  $U_j$  – с. в-р  $\mathbf{S}$ ,  
 $V_j$  – с. в-р  $\mathbf{S}^T$ ,  $V_j = \mathbf{X}^T U_j \sqrt{\lambda_j}$ .

3. Группировка компонент SVD:  $\{1, \dots, d\} = \bigoplus I_k$ ,

$$\mathbf{X}^{(k)} = \sum_{j \in I_k} \mathbf{X}_j.$$

4. Восстановление диагональным усреднением:  $\mathbf{X}^{(k)} \rightarrow \widetilde{F}_N^{(k)}$ .

# Группировка

**Общий случай:**  $F_N = F_N^{(1)} + F_N^{(2)}$        $I_1 : \mathbf{X}^{(1)} \leftrightarrow \widetilde{F}_N^{(1)}$ .

**Группировка возможна, если:**

1.  $F_N^{(1)}$  – ряд конечного ранга (конечное кол-во компонент),
2.  $F_N^{(1)}$  отделим от остатка.

**Случай аппроксимации:**

$F_N = F_N^{(1)} + F_N^{(2)}$        $I_1 : \mathbf{X}^{(1)} \leftrightarrow \widetilde{F}_N^{(1)}$  – аппроксимация сигнала.

сигнал, шум

1. Любая линейная комбинация произведений **экспонент**, **э.-м. гармоник** и **полиномов** является рядом конечного ранга.
2. Примеры асимптотической отделимости:
  - Детерм. сигнал асимптотически отделим от белого шума.
  - Периодика асимптотически отделима от тренда.

# Идентификация

Идентификация – выбор компонент при группировке.

**Экспоненциальный тренд:**  $f_n = Ae^{\alpha n}$ .

- ранг равен 1, т. е. ему соответствует одна компонента SVD,

- собственный вектор:

$$U = (u_1, \dots, u_L)^T : u_k = Ce^{\alpha k}.$$

(“экспоненциальный” вид с тем же  $\alpha$ )

**Экспоненциально-модулированная гармоника:**  $f_n = Ae^{\alpha n} \cos(2\pi\omega n)$ .

- ранг равен 2, т. е. ей соответствуют две компоненты SVD,

- собственные вектора:

$$U_1 = (u_1^{(1)}, \dots, u_L^{(1)})^T : u_k^{(1)} = C_1 e^{\alpha k} \cos(2\pi\omega k).$$

$$U_2 = (u_1^{(2)}, \dots, u_L^{(2)})^T : u_k^{(2)} = C_2 e^{\alpha k} \sin(2\pi\omega k).$$

(“экспоненциально-модулированный” вид с теми же  $\alpha$  и  $\omega$ )

# Идентификация

Идентификация – выбор компонент при группировке.

**Экспоненциальный тренд:**  $f_n = Ae^{\alpha n}$ .

- ранг равен 1, т. е. ему соответствует одна компонента SVD,

- собственный вектор:

$$U = (u_1, \dots, u_L)^T : u_k = Ce^{\alpha k}.$$

(“экспоненциальный” вид с тем же  $\alpha$ )

**Экспоненциально-модулированная гармоника:**  $f_n = Ae^{\alpha n} \cos(2\pi\omega n)$ .

- ранг равен 2, т. е. ей соответствуют две компоненты SVD,

- собственные вектора:

$$U_1 = (u_1^{(1)}, \dots, u_L^{(1)})^T : u_k^{(1)} = C_1 e^{\alpha k} \cos(2\pi\omega k).$$

$$U_2 = (u_1^{(2)}, \dots, u_L^{(2)})^T : u_k^{(2)} = C_2 e^{\alpha k} \sin(2\pi\omega k).$$

(“экспоненциально-модулированный” вид с теми же  $\alpha$  и  $\omega$ )

# Идентификация

Идентификация – выбор компонент при группировке.

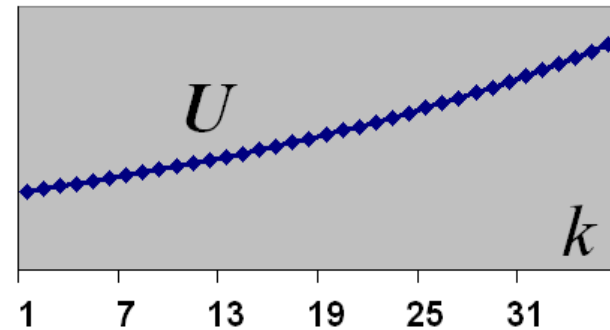
**Экспоненциальный тренд:**  $f_n = Ae^{\alpha n}$ .

- ранг равен 1, т. е. ему соответствует одна компонента SVD,

- собственный вектор:

$$U = (u_1, \dots, u_L)^T : u_k = Ce^{\alpha k}.$$

(“экспоненциальный” вид с тем же  $\alpha$ )



**Экспоненциально-модулированная гармоника:**  $f_n = Ae^{\alpha n} \cos(2\pi\omega n)$ .

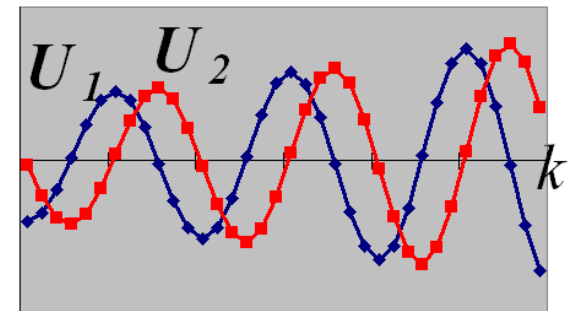
- ранг равен 2, т. е. ей соответствуют две компоненты SVD,

- собственные вектора:

$$U_1 = (u_1^{(1)}, \dots, u_L^{(1)})^T : u_k^{(1)} = C_1 e^{\alpha k} \cos(2\pi\omega k).$$

$$U_2 = (u_1^{(2)}, \dots, u_L^{(2)})^T : u_k^{(2)} = C_2 e^{\alpha k} \sin(2\pi\omega k).$$

(“экспоненциально-модулированный” вид с теми же  $\alpha$  и  $\omega$ )



# Тренд: метод низких частот

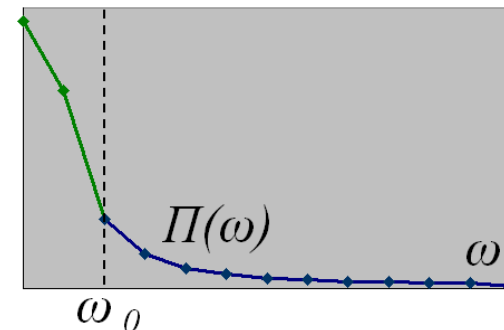
Исследуем каждый собственный вектор  $U_j$ . Опишем для  $U = (u_1, \dots, u_L)^T$ .

## МЕТОД НИЗКИХ ЧАСТОТ

■  $u_n = c_0 + \sum_{1 \leq k \leq \frac{L-1}{2}} (c_k \cos(2\pi nk/L) + s_k \sin(2\pi nk/L)) + (-1)^n c_{L/2},$

■ Периодограмма:

$$\Pi_U^L(k/L) = \frac{L}{4} \begin{cases} 2c_0^2, & k = 0, \\ c_k^2 + s_k^2, & 1 \leq k \leq \frac{L-1}{2}, \\ 2c_{L/2}^2, & L - \text{чётное и } k = L/2. \end{cases}$$



$\Pi_U^L(\omega)$ ,  $\omega \in \{k/L\}$ , отражает вклад в вид  $U$  гармоники с частотой  $\omega$ .

■ Параметр:  $\omega_0$  – верхняя граница области низких частот

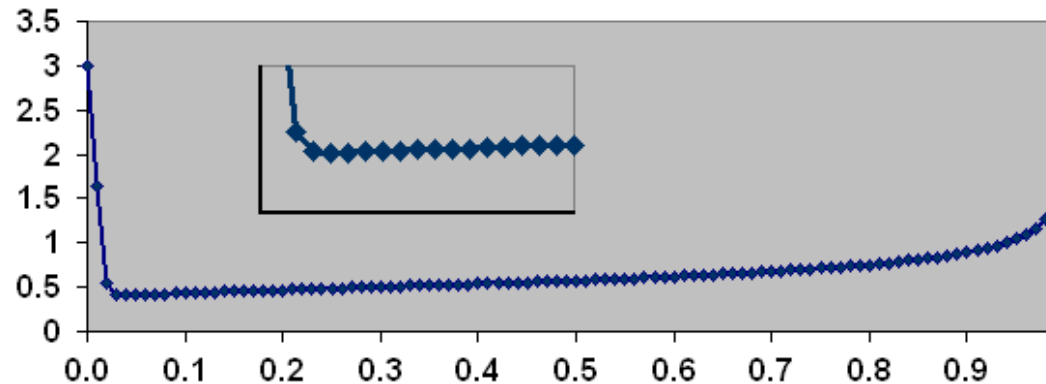
$$\mathcal{C}(U) = \frac{\sum_{L\omega_0 < k \leq L/2} \Pi_U^L(k/L)}{\sum_{0 \leq k \leq L/2} \Pi_U^L(k/L)} - \text{вклад “не-низких” частот.}$$

$\mathcal{C}(U) \leq \mathcal{C}_0 \Rightarrow$  с. вектор  $U$  соответствует тренду.

( $\mathcal{C}_0 \in (0, 1)$  – пороговое значение)

# Метод НЧ: оптимальные пороговые значения

Зависимость СКО от  $C_0$  (от аппроксимации, полученной с таким  $C_0$ )



Оптимальные  $C_0$

	0	0.01	0.02
<b>0</b>	0	0.004	0.01
<b>1</b>	0.003	0.01	0.02
<b>2</b>	0.01	0.02	0.04

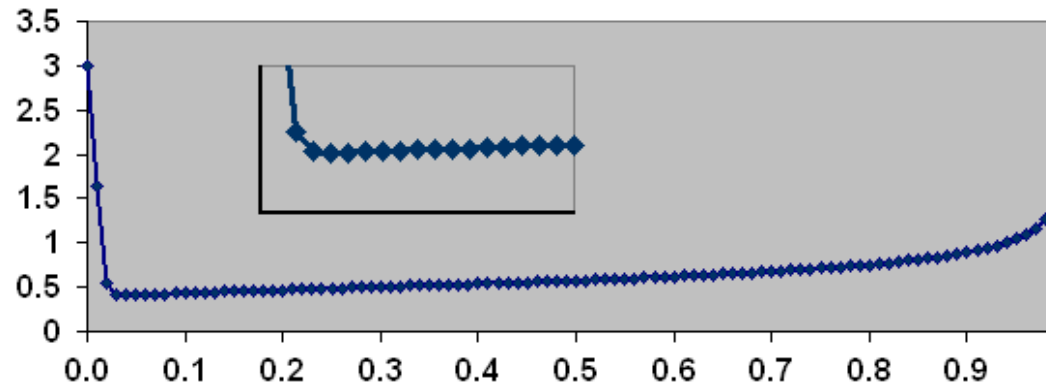
Соотв. им значения СКО

	0	0.01	0.02
<b>0</b>	0	0	0
<b>1</b>	0.18	0.19	0.20
<b>2</b>	0.36	0.37	0.40

Количество компонент, идентифицируемых при оптимальном  $C_0$ , очень близко к рангу ряда (1 для экспоненты).

# Метод НЧ: оптимальные пороговые значения

Зависимость СКО от  $C_0$  (от аппроксимации, полученной с таким  $C_0$ )



Оптимальные  $C_0$

	0	0.01	0.02
<b>0</b>	0	0.004	0.01
<b>1</b>	0.003	0.01	0.02
<b>2</b>	0.01	0.02	0.04

Соотв. им значения СКО

	0	0.01	0.02
<b>0</b>	0	0	0
<b>1</b>	0.18	0.19	0.20
<b>2</b>	0.36	0.37	0.40

Количество компонент, идентифицируемых при оптимальном  $C_0$ , очень близко к рангу ряда (1 для экспоненты).

# Периодика: метод Фурье

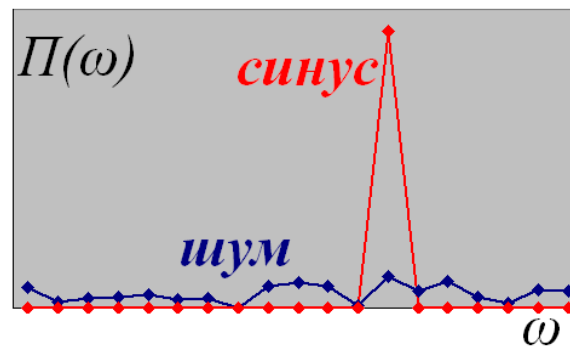
Исследуем последовательности элементов собственных векторов соседних компонент  $U_j, U_{j+1}$

## МЕТОД ФУРЬЕ

- **Часть 1.** Проверка на “максимальную” частоту:  $\theta_j = \arg \min_k \Pi_{U_j}^M(k/M)$ ,  
 $M|\theta_j - \theta_{j+1}| \leq s_0 \Rightarrow$  пара  $(j, j+1)$  – “гармоническая”.

- **Часть 2.** Проверка на форму периодограммы:

$$\rho_{(j,j+1)} = \frac{1}{2} \max_k \left( \Pi_{U_j}^M(k/M) + \Pi_{U_{j+1}}^M(k/M) \right), \text{ для гарм. пары } \rho_{(j,j+1)} = 1.$$

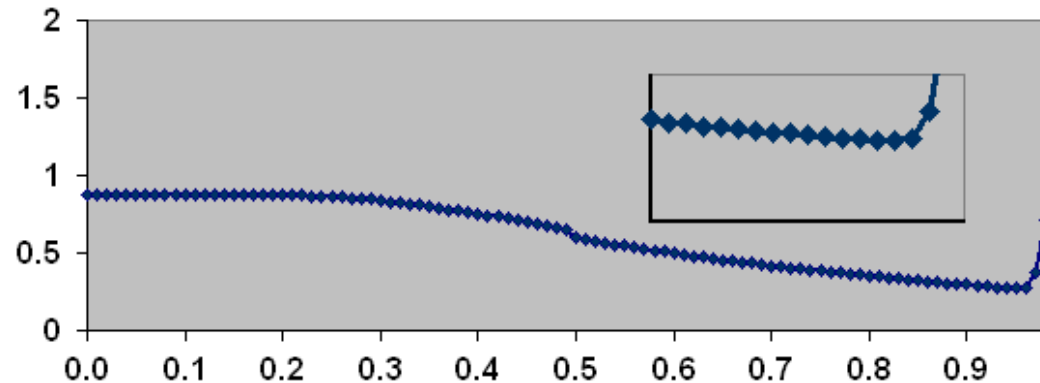


$\rho_{(j,j+1)} \geq \rho_0 \Rightarrow$  пара компонент  $(j, j+1)$  соответствует гармонике.

$(\rho_0 \in (0, 1)$  – пороговое значение)

# Метод Фурье: оптимальные пороговые значения

Зависимость СКО от  $\rho_0$  (от аппроксимации, полученной с таким  $\rho_0$ )



Оптимальные  $\rho_0$

	0	0.01	0.02
<b>0</b>	1.00	0.99	0.96
<b>1</b>	0.98	0.95	0.89
<b>2</b>	0.93	0.90	0.82

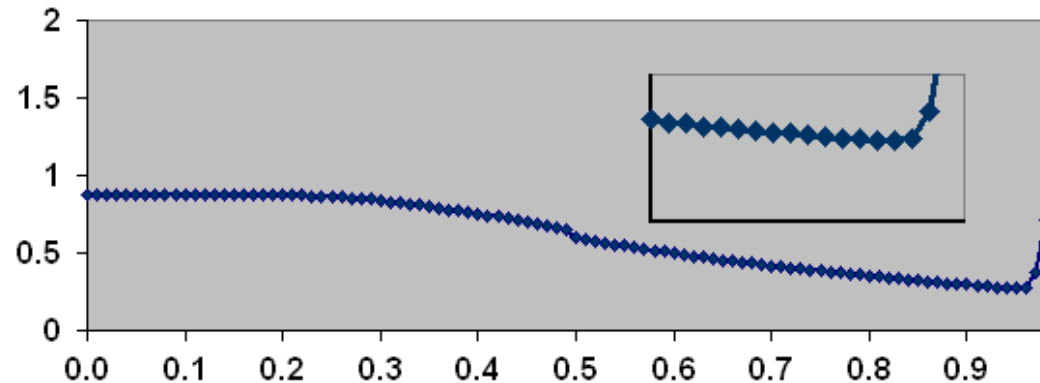
Соотв. им значения СКО

	0	0.01	0.02
<b>0</b>	0	0	0
<b>1</b>	0.27	0.28	0.31
<b>2</b>	0.58	0.62	0.69

Количество компонент, идентифицируемых при оптимальном  $\rho_0$ , очень близко к рангу ряда (2 для э.-м. гармоники).

# Метод Фурье: оптимальные пороговые значения

Зависимость СКО от  $\rho_0$  (от аппроксимации, полученной с таким  $\rho_0$ )



Оптимальные  $\rho_0$

	0	0.01	0.02
<b>0</b>	1.00	0.99	0.96
<b>1</b>	0.98	0.95	0.89
<b>2</b>	0.93	0.90	0.82

Соотв. им значения СКО

	0	0.01	0.02
<b>0</b>	0	0	0
<b>1</b>	0.27	0.28	0.31
<b>2</b>	0.58	0.62	0.69

Количество компонент, идентифицируемых при оптимальном  $\rho_0$ , очень близко к рангу ряда (2 для э.-м. гармоника).

# Ситуация, близкая к реальной

Расчёт оптимального порогового значения в случае, когда параметры модели известны с погрешностью.

**Экспоненциальный тренд** ( $f_n = Ce^{\alpha n}$ )

- $\alpha \in [0.01, 0.02]$ ,
- $\sigma_0 \in [1, 2]$ .

То есть рассматривается класс рядов. Пороговое значение должно таким, чтобы выделять тренд любого ряда из этого класса.

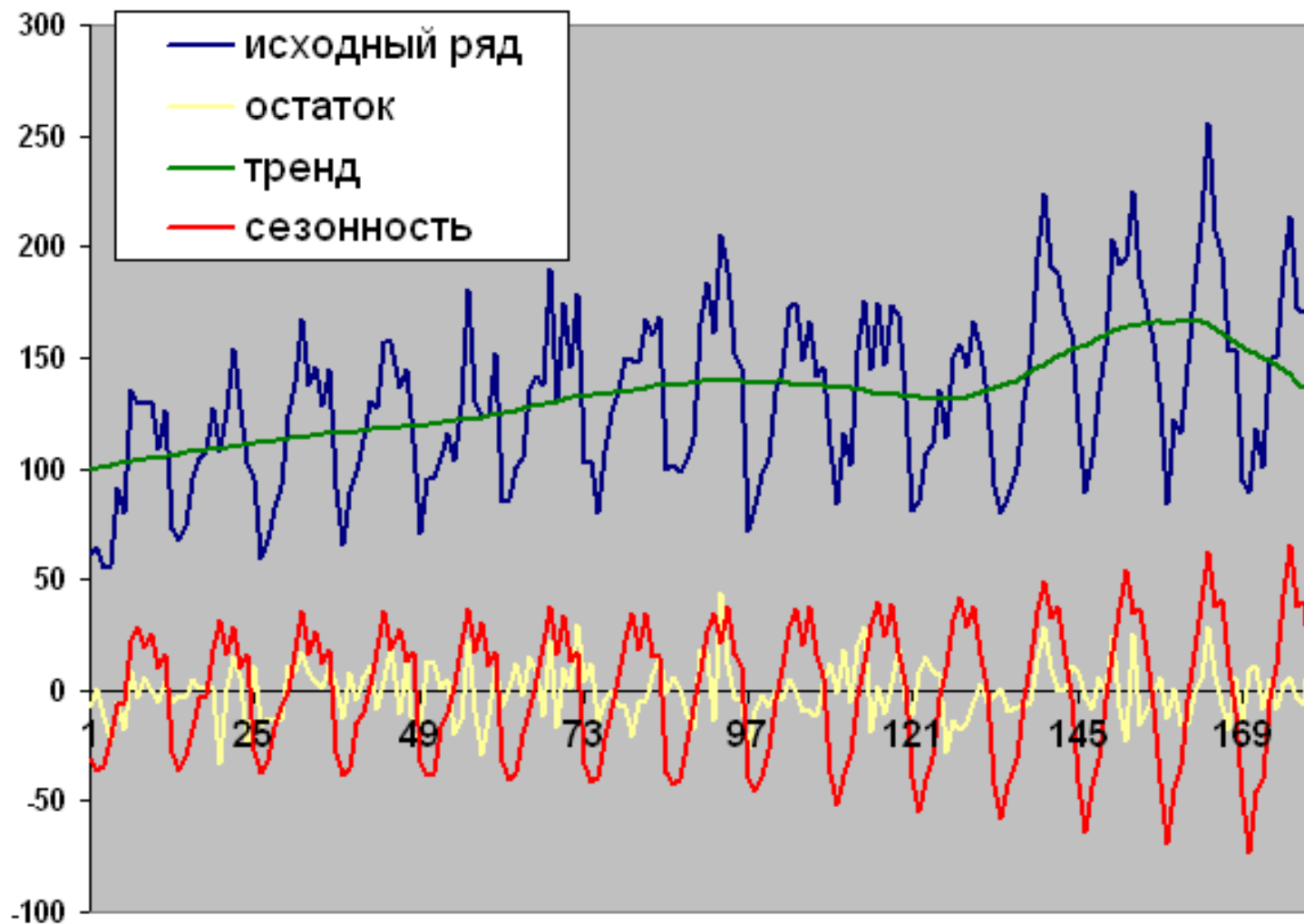
Увеличение  $C_0$  – ослабление ограничений (взятие большего количества компонент).

Наихудший случай в этом классе: ряд с  $\alpha = 0.02$  и  $\sigma_0 = 2$ . Для такого ряда рассчитанное оптимальное  $C_0 = 0.039$ .

**Пусть в реальности было:**  $\alpha = 0.13, \sigma_0 = 1.6$ .

СКО при выбранном  $C_0 = 0.039$  больше всего на 0.05%, чем минимальное СКО для такого ряда, которое достигается при  $C_0 = 0.018$ .

# Заклучение



Ежемесячные данные: аварии на дорогах, 1960-1974, Онтарио.

Номера компонент тренда: 1, 4, 5.

Номера компонент сезонности: 2, 3, 6-8, 11-14.